

## ОСРЕДНЕНИЕ ТЕМПЕРАТУР СЛОЕВ В ДВУХСЛОЙНОЙ ПЛАСТИНЕ

Проектировочный расчет клеевых соединений или многослойных панелей зачастую требует учета температурных напряжений. Температурные воздействия могут быть обусловлены условиями эксплуатации изделия, технологией изготовления, ремонта и т.д. В большинстве работ в формулы расчета напряженного состояния входят отклонения температур соединяемых слоев от температуры равновесного состояния. При этом температура слоя считается постоянной по толщине и ее изменение в течение времени подробно не изучается. Однако при больших скоростях нагрева и высокой теплопроводности первого слоя разность деформаций слоев достигает своего максимального значения не в стационарном состоянии, а в некоторый момент времени, когда внешний слой уже нагрелся, а внутренний еще остается не нагретым.

Чтобы более подробно изучить этот вопрос, решим задачу теплопроводности в составном стержне, состоящем из двух разнородных материалов. Влиянием клеевой прослойки на распространение температуры пренебрегаем ввиду ее малой толщины. Уравнение теплопроводности имеет вид

$$c(x)\rho(x)\frac{\partial u}{\partial t} = \frac{\partial}{\partial x}\left(\lambda(x)\frac{\partial u}{\partial x}\right), \quad (1)$$

где  $c(x)$  – удельная теплоемкость;  $\rho(x)$  – плотность;  $\lambda(x)$  – коэффициент теплопроводности;  $u(x,t)$  – температура.

Толщина первого слоя  $\delta_1$ , общая толщина двухслойной пластины равна  $l$ . Следовательно, коэффициенты уравнения (1) описываются формулами

$$c(x) = \begin{cases} c_1, & 0 < x < \delta_1, \\ c_2, & \delta_1 < x < l, \end{cases} \quad \rho(x) = \begin{cases} \rho_1, & 0 < x < \delta_1, \\ \rho_2, & \delta_1 < x < l, \end{cases} \quad \lambda(x) = \begin{cases} \lambda_1, & 0 < x < \delta_1, \\ \lambda_2, & \delta_1 < x < l. \end{cases}$$

Краевые условия примем следующими:

$$u(0,t) = T_1, \quad u(l,t) = 0, \quad (0 < t < \infty).$$

Начальные условия  $u(x,0) = \varphi(x)$ ,  $(0 < x < l)$ .

Поскольку краевые условия не являются однородными, решение уравнения (1) будем искать в виде

$$u(x,t) = v(x,t) + w(x), \quad (2)$$

где функция  $w(x)$  удовлетворяет краевым условиям исходной задачи, а на функцию  $v(x,t)$  накладываются однородные краевые условия  $v(0,t) = 0$ ,  $v(l,t) = 0$ . Поскольку вид функции  $w(x)$  произволен, удоб-

нее ее представить в виде стационарного решения уравнения (1), т.е. в виде двух отрезков прямых:

$$w(x) = \begin{cases} T_1 - k_1 x, & 0 \leq x < \delta_0, \\ (l - x)k_2, & \delta_0 \leq x \leq l. \end{cases}$$

При этом краевые условия выполняются автоматически, а неизвестные константы  $k_1$  и  $k_2$  найдем из условий сопряжения температур и тепловых потоков в точке  $x = \delta_1$ :

$$\lim_{x \rightarrow \delta_1 - 0} w = \lim_{x \rightarrow \delta_1 + 0} w \quad \text{и} \quad \lambda_1 \lim_{x \rightarrow \delta_1 - 0} \frac{dw}{dx} = \lambda_2 \lim_{x \rightarrow \delta_1 + 0} \frac{dw}{dx}.$$

Это приводит к системе уравнений

$$\begin{cases} T_1 - k_1 \delta_1 = (l - \delta_1)k_2, \\ \lambda_1 k_1 = \lambda_2 k_2. \end{cases}$$

Подставляя (2) в (1) и проведя очевидные преобразования, получаем

$$\frac{\partial v}{\partial t} = a^2(x) \frac{\partial^2 v}{\partial x^2}. \quad (3)$$

Согласно методу разделения переменных решение уравнения (3) ищем в виде

$$v(x, t) = \sum_{n=1}^{\infty} C_n e^{-\omega_n^2 t} X_n(x).$$

согласно [1]

$$X_n(x) = \begin{cases} \sin \frac{\omega_n}{a_1} x / \sin \frac{\omega_n}{a_1} \delta_0, & 0 \leq x < \delta_1, \\ \sin \frac{\omega_n}{a_2} (l - x) / \sin \frac{\omega_n}{a_2} (l - \delta_0), & \delta_1 < x \leq l. \end{cases}$$

В свою очередь  $a_i = \sqrt{\frac{\lambda_i}{c_i \rho_i}}$ ,  $i = 1, 2$ .

Равенство температур в точке  $\delta_1$  с обеих сторон выполняется автоматически. Условие равенства тепловых потоков в точке  $\delta_1$  имеет вид

$$\lambda_1 \frac{\partial v}{\partial x} \Big|_{x=\delta_1-0} = \lambda_2 \frac{\partial v}{\partial x} \Big|_{x=\delta_1+0}.$$

Это приводит к трансцендентному уравнению относительно собственных чисел  $\omega$

$$\frac{\lambda_1}{a_1} \operatorname{ctg}\left(\frac{\omega}{a_1} \delta_1\right) = \frac{\lambda_2}{a_2} \operatorname{ctg}\left(\frac{\omega}{a_2} (\delta_1 - l)\right). \quad (4)$$

Уравнение (4) имеет бесконечное число корней, которые локализованы между точками разрыва функций. Это обстоятельство позволяет построить простой алгоритм поиска решений уравнения (4).

Константы  $C_n$  находим по формулам

$$C_n = \frac{\int_0^l c(x) \rho(x) [\varphi(x) - w(x)] X_n(x) dx}{\|X_n\|}, \quad \|X_n\| = \int_0^l c(x) \rho(x) X_n^2(x) dx.$$

Отметим, что данные интегралы без труда вычисляются аналитически. Средняя температура слоев такая:

$$\bar{u}_1(t) = \frac{1}{\delta_1} \int_0^{\delta_1} u(x, t) dx, \quad \bar{u}_2(t) = \frac{1}{l - \delta_1} \int_{\delta_1}^l u(x, t) dx.$$

Подставляя полученные ранее формулы, получаем:

$$\bar{u}_1(t) = T_1 - k_1 \frac{\delta_1}{2l} + \frac{a_1}{\delta_1} \sum_{n=1}^{\infty} C_n e^{-\omega_n^2 t} \frac{\left(1 - \cos \frac{\omega_n}{a_1} \delta_0\right)}{\omega_n \cdot \sin \frac{\omega_n}{a_1} \delta_0},$$

$$\bar{u}_2(t) = k_2 \left[ \frac{l - \delta_1}{2} + a_2 \sum_{n=1}^{\infty} \frac{C_n e^{-\omega_n^2 t} \left(1 - \cos \frac{\omega_n}{a_2} (l - \delta_1)\right)}{(l - \delta_1) k_2 \omega_n \cdot \sin \frac{\omega_n}{a_2} (l - \delta_1)} \right].$$

Зная средние температуры слоев, не составляет труда вычислить соответствующие температурные деформации и напряжения в составной пластине. При этом предполагается, что изгиб и межслойный сдвиг отсутствуют. Эти гипотезы существенно упрощают модель и позволяют применять простые аналитические или численно-аналитические методики определения напряженного состояния соединения [3, 4].

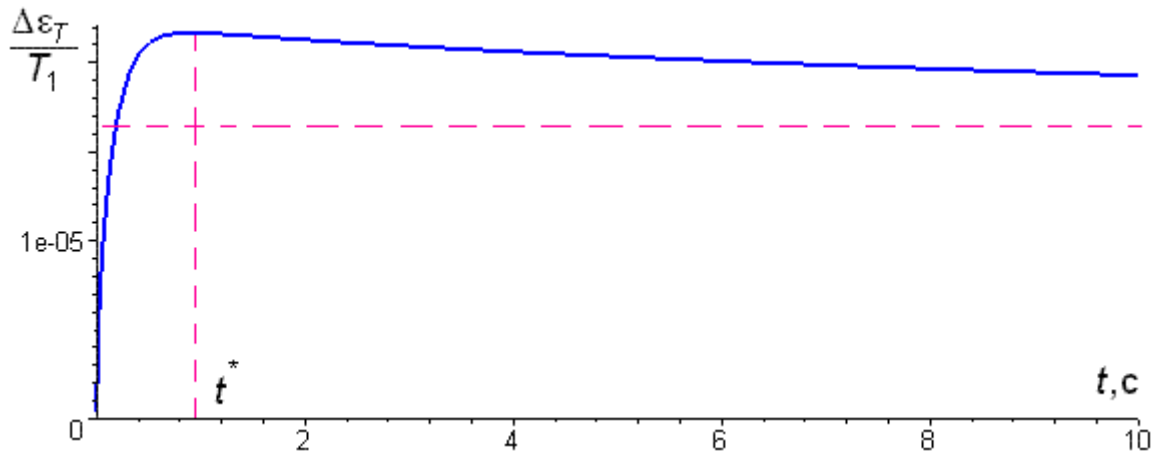
Максимальная разница в средних деформациях слоев будет при условии  $\frac{\partial}{\partial t} (\alpha_1 \bar{u}_1 - \alpha_2 \bar{u}_2) = 0$ , где  $\alpha_i$  - коэффициенты температурного линейного расширения  $i$ -го слоя.

Отсюда получаем уравнение

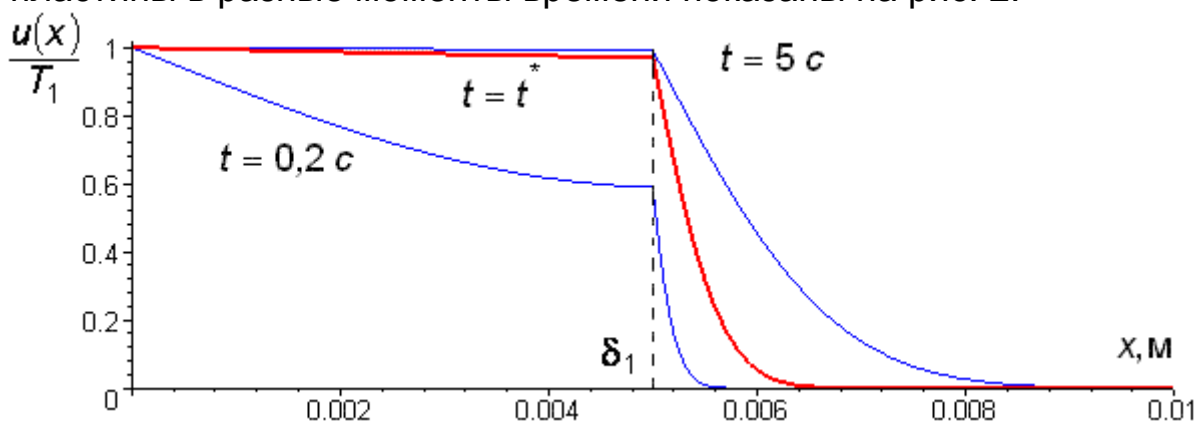
$$\sum_{n=1}^{\infty} \left( \alpha_1 \frac{a_2 \left( 1 - \cos \frac{\omega_n}{a_2} (l - \delta_1) \right)}{(l - \delta_1) \sin \frac{\omega_n}{a_2} (l - \delta_1)} - \alpha_2 \frac{a_1 \left( 1 - \cos \frac{\omega_n}{a_1} \delta_1 \right)}{\delta_1 \sin \frac{\omega_n}{a_1} \delta_1} \right) C_n \omega_n e^{-\omega_n^2 t} = 0,$$

которое без труда решается, например, с помощью метода Ньютона.

**Численные результаты.** Рассмотрим соединение деталей из алюминия и стеклопластика. Толщина слоев 5 мм,  $\varphi(x) = 0$ . Параметры материалов [2]:  $c_1 = 880$  Дж/(м·градС),  $\lambda_1 = 150$  Вт/(м·°С),  $\rho_1 = 2800$  кг/м<sup>3</sup>,  $\alpha_1 = 2,3 \cdot 10^{-5}$  1/°С,  $c_2 = 1400$  Дж/(м·°С),  $\lambda_2 = 0,4$  Вт/(м·°С),  $\rho_2 = 1500$  кг/м<sup>3</sup>,  $\alpha_2 = 1,2 \cdot 10^{-5}$  1/°С. На рисунке 1 показаны график функции  $\Delta \varepsilon_T = \alpha_1 \bar{u}_1(t) - \alpha_2 \bar{u}_2(t)$  и горизонтальная асимптота, которая соответствует стационарному состоянию.



В момент времени  $t^*$  разность средних деформаций достигает наибольшего значения. Графики распределения температуры по толщине пластины в разные моменты времени показаны на рис. 2.



**Выводы.** Из графика на рисунке 1 видно, что максимальные температурные напряжения, вычисленные по предложенной модели, превышают более чем на 25% напряжения в стационарном состоянии. При этом эффект, вызванный неравномерным нагревом, усиливается, если коэффициент температурного расширения второго слоя близок к аналогичному коэффициенту первого слоя или превышает его. Однако если нагрев происходит со стороны материала с меньшей теплопроводностью, то показанный эффект отсутствует, и функция разности средних температурных деформаций  $\Delta\varepsilon_T$  экстремума не имеет и стремится к асимптоте снизу, т.е. наибольшие напряжения в этом случае возникают при стационарном распределении температуры.

Результаты модельной задачи иллюстрируют важность исследования влияния скорости и направления нагрева на температурные напряжения в многослойных пластинах. Дальнейшие исследования могут проводиться в таких направлениях:

- обобщение на большее число слоев;
- решение задач для других типов краевых условий, таких, как лучистый и конвективный теплообмен;
- решение задач для многослойных цилиндров и других криволинейных объектов;
- оптимальное управление нагревом;
- включение в модель изгиба.

#### Список использованных источников

1. Лыков А.В. Теория теплопроводности / А.В. Лыков – М.: «Высш. шк.», 1967. – 600 с.
2. Полежаев Ю.В. Тепловая защита / Ю.В. Полежаев, Ф.Б. Юревич – М.: «Энергия», 1975. – 408 с.
3. Карпов Я.С. Проектирование и конструирование соединений деталей из композиционных материалов / Я.С. Карпов, С.П. Кривенда, В.И. Рябков // – Х.: Нац. аэрокосм. ун-т им. Н.Е.Жуковского «ХАИ», 1997. – 201 с.
4. Кривенда С.П. Вплив податливості з'єднувального шару на напружено-деформований стан з'єднання / С.П. Кривенда, І.М. Тараненко // Вопр. проектирования и производства конструкций летательных аппаратов: сб. науч. тр. Нац. аэрокосм. ун-та им. Н.Е.Жуковского «ХАИ». – Вып. 2. Х., 2009. – С. 25–32.

*Поступила в редакцию 21.02.2011.*

*Рецензент: д-р физ.-мат. наук, проф. А. Г. Николаев,  
Национальный аэрокосмический университет  
им. Н. Е. Жуковского «ХАИ», г. Харьков*